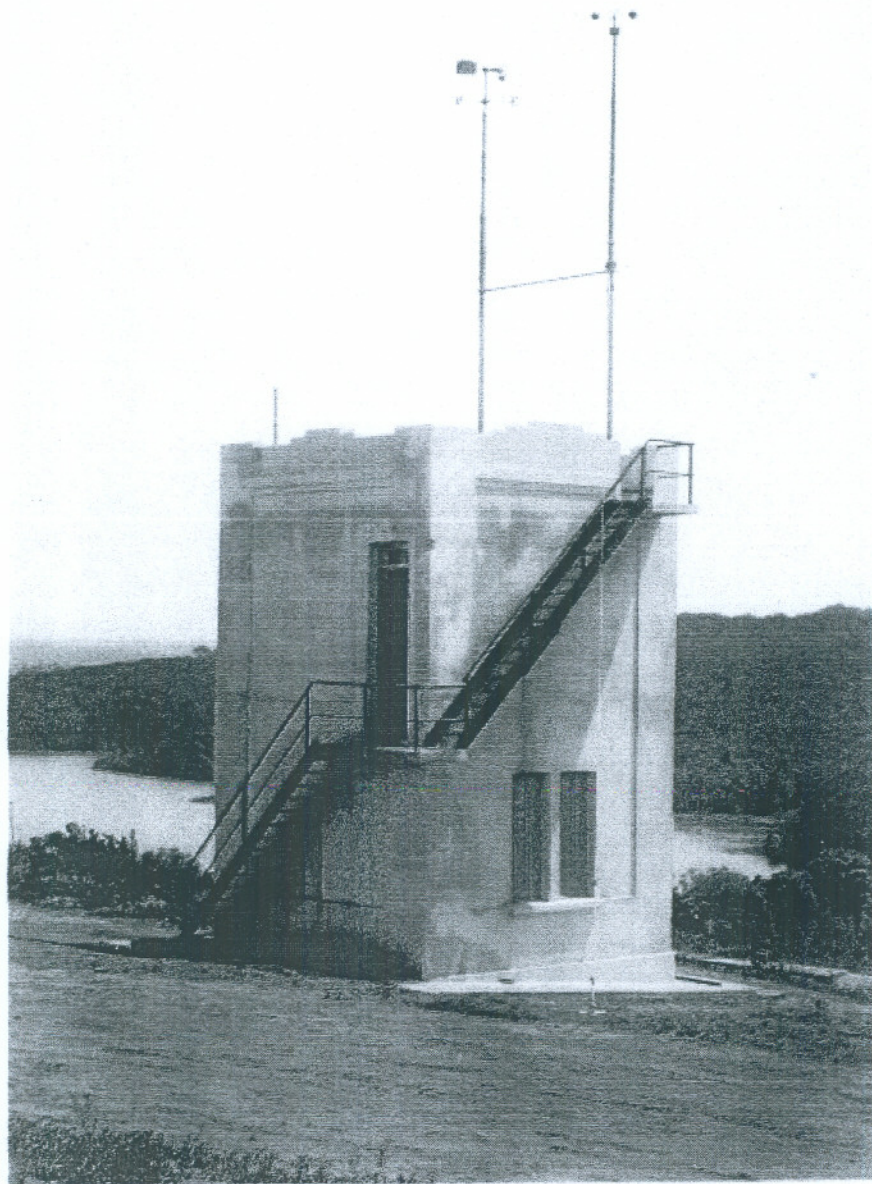


**OBSERVAÇÕES DE SUPERFÍCIE EFETUADAS
NA ESTAÇÃO METEOROLÓGICA**

2000



Departamento de Ciências Atmosféricas
Instituto Astronômico e Geofísico
Universidade de São Paulo

OBSERVAÇÕES DE SUPERFÍCIE EFETUADAS NA ESTAÇÃO METEOROLÓGICA

- 2000 -

(0000 horas UTC) (0000 horas UTC) (0000 horas UTC)

(0000 horas UTC) (0000 horas UTC) (0000 horas UTC)

Departamento de Ciências Atmosféricas -
Instituto Astronômico e Geofísico -
Universidade de São Paulo

Universidade de São Paulo

Instituto Astronômico e Geofísico

Departamento de Ciências Atmosféricas

Estação Meteorológica

Av. Miguel Stefano, No. 4200, Água Funda

São Paulo - SP - CEP 04301-904 - Brasil

telefone / fax: (0xx11) 577-8599 ramal 249 (até abril de 2001),

(0xx11) 5073-8599 ramal 249 (a partir de março de 2001)

estacao@model.iag.usp.br

http://www.iag.usp.br/meteo/meteo_servi.htm

OBSERVAÇÕES de Superfície Efetuadas na Estação Meteorológica

v. 1, 1997- Departamento de Ciências Atmosféricas, Instituto Astronômico e Geofísico,
Universidade de São Paulo.

2000, v.4

Anual

ISSN 1415-4374

1. Meteorologia. 2. São Paulo - Climatologia. 3. Umidade do Ar. 4. Irradiação Solar Global Diária 5.
Insolação Relativa Diária I. Estação Meteorológica / Departamento de Ciências Atmosféricas / Instituto
Astronômico e Geofísico / Universidade de São Paulo. II. Plana-Fattori, Artemio (organizador).

Capa: "Torre Meteorológica Provisória" (acervo IAG-USP), empregada entre março de 1933 e abril de 1941.

Os resultados obtidos são relevantes para o desenvolvimento de novas tecnologias e aplicações que possam ser utilizadas para melhorar a eficiência da produção e do uso das energias e informações no mundo moderno. São muitas as aplicações que podem ser feitas com os dados obtidos, como por exemplo, na melhoria das estruturas de edifícios, na redução da energia consumida, na melhoria da eficiência das máquinas e equipamentos, entre outras.



As medições realizadas na estação meteorológica da Unidade de Pesquisas e Desenvolvimento da UFGM nas localidades de São José dos Campos e São Paulo, visaram a obtenção de dados climáticos para o projeto "Projeto de Estudo da Irradiação Solar Global Diária e Relativa Diária" da Unidade de Pesquisas e Desenvolvimento da UFGM, que é financiado pelo Conselho Nacional de Desenvolvimento Científico e Tecnológico (CNPq) e pelo FAPERJ. Os dados obtidos foram utilizados para a elaboração de um relatório sobre a situação climática da Região Centro-Oeste do Brasil, que foi apresentado ao Conselho de Desenvolvimento da Região Centro-Oeste (CDR) em 2000.

SUMÁRIO

Prefácio	4
Instrumentos e Procedimentos	5
Umidade do Ar (II)	7
Irradiação Solar Global Diária	9
Insolação Relativa Diária	11
Acervo de Dados	12
Resumo – Ano de 2000	14
Referências Bibliográficas.	15
Tabelas e Figuras.	16

PREFÁCIO

Este boletim resume informações relativas ao funcionamento rotineiro da Estação Meteorológica de nosso Instituto, procurando auxiliar todos aqueles que utilizam as observações nela efetuadas. Entre outras informações, são fornecidos detalhes sobre os instrumentos em operação, sobre os procedimentos de análise seguidos, sobre a organização do acervo de dados, sobre o estado atual da digitalização deste acervo e, por fim, sobre o comportamento de diversas variáveis meteorológicas ao longo do ano findo. Este boletim será editado com freqüência anual, fazendo com que as informações contidas sejam devidamente revistas e atualizadas.

A Estação Meteorológica do Departamento de Ciências Atmosféricas do Instituto Astronômico e Geofísico da Universidade de São Paulo encontra-se situada no Parque Estadual das Fontes do Ipiranga (antigo Parque do Estado), bairro da Água Funda, capital, SP. Nossa Estação acha-se registrada junto à Organização Meteorológica Mundial sob o número 83004. Ela é constituída de um cercado meteorológico, de um conjunto de salas no terraço do edifício da biblioteca de nosso Instituto (“terraço da Estação”), e de uma torre no alto deste mesmo edifício (“torre da Estação”). Em termos geográficos, tanto o cercado quanto o edifício encontram-se nos arredores de um marco correspondente à latitude 23°39'S e à longitude 46°37'W. Estas instalações tem sido praticamente as mesmas desde o início das atividades da referida estação, em 22 de novembro de 1932. Além de coletar, tratar e disseminar suas observações de superfície, e de receber visitantes de quase todas as faixas escolares ao longo do ano, a Estação Meteorológica tem constituído laboratório para aulas práticas do Bacharelado em Meteorologia. Uma descrição detalhada das atividades desenvolvidas ao longo do ano findo pode ser apreciada em nosso Relatório Anual.

O cumprimento de todas as tarefas acima mencionadas está a cargo de um corpo técnico especializado formado, neste momento, por três Especialistas em Laboratório (Frederico Luiz Funari, Mário Festa e Sérgio Torre Salum) e três Técnicos de Laboratório (Carlos Teixeira de Oliveira, Edvaldo Mendes dos Santos e Pety Runha Lourenço). Em particular ao longo do ano de 2000, a participação de seis estagiários (Aline Ribeiro Silva, Emilia Maria dos Santos Brasílio, Karina Trajano Ceconi, Pedro Pais Lopes, Rodrigo Silva Nunes e Sérgio Felipe Viana do Amaral) foi decisiva para o sucesso de nossas atividades. Valiosa tem sido a colaboração do Prof. Dr. Paulo Marques dos Santos, responsável pela nossa Estação até recentemente.

O funcionamento cotidiano desta Estação Meteorológica tem constituído o fruto do trabalho de pessoas dedicadas, cuja contribuição pessoal à riqueza do acervo não pode ser medida mas apenas lembrada. Esperamos que este boletim, e sua continuidade, venham tornar ainda mais visível o esforço aqui desenvolvido ao longo das décadas passadas.

São Paulo, janeiro de 2001.

Artemio Plana-Fattori
responsável pela Estação Meteorológica

INSTRUMENTOS E PROCEDIMENTOS

As técnicas atualmente adotadas em nossa Estação Meteorológica são descritas abaixo, indicando-se a época de sua implantação. Informações sobre a instrumentação empregada e sobre os procedimentos de observação e de interpretação de dados podem ser obtidos em publicações da Organização Meteorológica Mundial (WMO, 1994; WMO, 1996). Detalhes sobre o início de nossas atividades e sobre os procedimentos empregados até inícios dos anos 1960 podem ser encontrados numa publicação de nosso Instituto (dos Santos, 1964). Informações adicionais às abaixo descritas foram apresentadas no primeiro volume deste boletim.

1. Visibilidade Horizontal

- Desde julho de 1957, a visibilidade horizontal é estimada a partir do reconhecimento de referências visuais situadas a distâncias conhecidas no quadrante norte, cujo alcance visual no horizonte é significativamente maior que o correspondente aos demais quadrantes. Estas observações são efetuadas a partir de um ponto no terraço da Estação Meteorológica, a cada hora entre 07h e 24h.

2. Nebulosidade

- Desde janeiro de 1950, a identificação do gênero (tipo) e a avaliação da quantidade (em décimos de céu coberto) de nuvens baixas, médias e altas são efetuadas em quatro quadrantes (norte, leste, sul e oeste, definidos pelos pontos colaterais), com base no reconhecimento de padrões visuais. Estas observações são efetuadas a partir de quatro pontos no terraço da Estação Meteorológica, a cada hora entre 07h e 24h.

3. Vento Horizontal

- Desde julho de 1957, um anemógrafo tipo universal (Fuess, modelo 82b, No. A-9506) instalado na torre da Estação é empregado para: (a) observação da direção predominante e da velocidade instantânea, a cada hora entre 07h e 24h; e (b) *a posteriori*, obtenção da direção predominante e da velocidade média entre cada hora inteira, e da rajada máxima diária. A velocidade média entre cada hora inteira é deduzida a partir do registro da linha “caminho percorrido” associada ao deslocamento de uma parcela de ar imaginária.

4. Pressão Atmosférica

- Desde julho de 1957, um barômetro de mercúrio de cuba fixa tipo Kew (Fuess, modelo 11a, No.1010) instalado numa das salas do terraço da Estação (“sala do observador”) é empregado para observação da pressão atmosférica à altitude de 799,2 metros, a cada hora entre 07h e 24h. Registros de pressão atmosférica também são disponíveis, no mesmo local e desde abril de 1962, a partir de um microbarógrafo dotado de 15 cápsulas aneróides (Fuess, modelo 78m, No. C-2843), com rotação diária. Estes registros permitem a estimativa de valores horários de pressão atmosférica entre 01h e 06h. Encontra-se instalado nesta mesma sala, desde julho de 1957, um barógrafo dotado de 6 cápsulas aneróides (Lambrecht, modelo L-296, No. 55036), com rotação semanal. Registros deste último tipo são empregados na análise de variações de pressão atmosférica ao longo de períodos de vários dias.

5. Temperatura do Ar

- Desde julho de 1968, observações horárias da temperatura do ar são efetuadas entre 07h e 24h com a leitura do capilar de mercúrio que constitui o bulbo seco de um psicrómetro de aspiração tipo Assmann com motor elétrico (Fuess, modelo 32e, No. D-3727). Registros de temperatura do ar são disponíveis desde junho de 1979 a partir de um termógrafo de anel bimetálico (Fuess, modelo 79, No. F-2243), com rotação diária. Estes registros permitem a estimativa de valores horários entre 01h e 06h. Valores extremos de temperatura do ar são obtidos a partir de observações efetuadas com um termômetro de máxima com capilar de mercúrio (Fuess) e de um termômetro de mínima com capilar de álcool (Fuess). Estas observações são efetuadas às 07h, 14h, 21h e 24h; no caso do termômetro de máxima, também às 15h. Todos estes instrumentos encontram-se instalados no abrigo principal do cercado meteorológico.

6. Umidade do Ar

- Desde julho de 1968, avaliações horárias de diversas variáveis relacionadas à presença de vapor d’água são obtidas entre 07h e 24h a partir da leitura dos capilares de mercúrio que constituem os bulbos seco e úmido

de um psicrómetro de aspiração tipo Assmann com motor elétrico (Fuess, modelo 32e, No. D-3727). O procedimento de análise destas leituras foi modificado em 2000 (ver **UMIDADE DO AR – II**). Registros de umidade relativa do ar são disponíveis desde julho de 1975 a partir de um higrógrafo dotado de harpa de fio de cabelo (Fuess, modelo 77g, No. 2243), com rotação diária. Estes registros permitem a estimativa de valores horários de umidade relativa do ar entre 01h e 06h. Ambos os instrumentos encontram-se instalados no abrigo principal do cercado meteorológico.

7. Temperatura do Solo

- Desde julho de 1957, observações horárias da temperatura do solo às profundidades de 5cm, 10cm, 20cm, 30cm e 40cm são efetuadas entre 07h e 24h com a leitura dos capilares de mercúrio de uma série de geotermômetros (Fuess, modelos 49a/49b). Em janeiro de 1962 foi instalado um termômetro de mercúrio em contato com o nível da superfície (Fuess, modelo 52a). Registros de temperatura às profundidades de 5cm e 10cm são disponíveis desde janeiro de 1963 a partir de dois geotermógrafos com tubo capilar de mercúrio (Lambrecht, modelo L-256, Nos. 55014 e 55015), com rotação semanal. Estes registros permitem a estimativa de valores horários entre 01h e 06h. Os elementos sensíveis de todos estes instrumentos encontram-se instalados numa parcela de solo nu, sem vegetação, no cercado meteorológico.

8. Evaporação

- Desde julho de 1957, totais horários de evaporação entre 07h e 24h são deduzidos a partir da leitura da coluna de água de dois evaporímetros tipo Piché, ambos instalados no cercado meteorológico (um no interior do abrigo principal, o outro ao ar livre nas proximidades do pluviôgrafo). A diferença entre as leituras efetuadas às 07h e às 24h (na véspera) permite a dedução do total de evaporação durante este período.

9. Precipitação

- Desde julho de 1957, um pluviôgrafo de Hellmann (Lambrecht, modelo L-1507, No. 54085) instalado no cercado meteorológico é empregado, *a posteriori*: (a) na avaliação de totais horários de precipitação entre cada hora inteira, e (b) na estimativa de valores de intensidade de precipitação. Três pluviômetros encontram-se instalados à sua proximidade, sendo um do tipo “Ville de Paris” e dois do tipo “Paulista”; um destes últimos pertence ao Departamento de Águas e Energia Elétrica (DAEE) do Estado de São Paulo, estando registrado sob o número E-3/35. A diferença entre as leituras efetuadas às 07h, 14h, 21h e 24h com estes pluviômetros permite a dedução do total de precipitação em cada período.

10. Irradiação Solar Global

- Desde janeiro de 1961, a irradiância solar global diária é obtida a partir dos registros obtidos com um actinôgrafo bimetálico (Fuess, modelo 58d, No. C-9869) instalado no alto da torre da Estação. Os registros são analisados em termos do valor assumido pela área compreendida entre a linha de registro e a linha obtida por interpolação linear entre os valores mínimos de registro durante as noites anterior e posterior ao período diurno de interesse. O valor desta área é obtido mediante planimetria mecânica, efetuada diversas vezes e por técnicos diferentes. O procedimento empregado para conversão desta área em quantidade de energia radiante à proximidade do solo foi modificado em 1998 (ver **IRRADIAÇÃO SOLAR GLOBAL DIÁRIA**).

11. Duração do Brilho Solar

- Desde julho de 1957, totais horários de duração do brilho solar são deduzidos a partir da análise de registros obtidos com um heliógrafo Campbell-Stokes (Lambrecht, modelo L-1603, No. 54003) instalado no alto da torre da Estação. O procedimento para avaliação da insolação relativa diária a partir dos totais de duração do brilho solar foi modificado em 1998 (ver **INSOLAÇÃO RELATIVA DIÁRIA**).

UMIDADE DO AR (II)

O procedimento de avaliação de diversas variáveis relacionadas à presença de vapor d'água na atmosfera (temperatura de ponto de orvalho, pressão parcial, umidade relativa e umidade específica) foi modificado em 2000, seguindo o material apresentado no Anexo 4.B da Sexta Edição do *Guide to Meteorological Instruments and Methods of Observation*, preparado sob os auspícios da Organização Meteorológica Mundial (WMO, 1996, p.I.4-25). O procedimento atual pode ser descrito como se segue.

A realização de leituras com o barômetro de mercúrio e o psicrômetro entre 07h e 24h leva à obtenção de valores simultâneos para a pressão atmosférica P (hPa) e para as temperaturas (do ar) de bulbo seco t e de bulbo úmido tw ($^{\circ}$ C). A pressão parcial de saturação do vapor d'água à temperatura de bulbo úmido, $ew'(P,tw)$, é obtida aplicando-se a seguinte fórmula:

$$ew'(P,tw) = f(P) \cdot ew(tw) \quad (\text{hPa}),$$

sendo $ew(tw)$ a pressão parcial de saturação do vapor d'água à temperatura de bulbo úmido em relação à uma superfície plana de água pura:

$$ew(tw) = 6,112 \cdot \exp[17,62 \cdot tw / (243,12 + tw)] \quad (\text{hPa}),$$

e $f(P)$ uma função do valor assumido pela pressão atmosférica:

$$f(P) = 1,0016 + 0,00000315 \cdot P - 0,074 / P \quad (\text{adim.}).$$

A fórmula psicrométrica para o psicrômetro de aspiração tipo Assmann (neste caso, para temperaturas entre -45 e $+60^{\circ}\text{C}$) leva à obtenção da pressão parcial do vapor d'água, e' :

$$e' = ew'(P,tw) - 0,000653 \cdot (1 + 0,000944 \cdot tw) \cdot P \cdot (t - tw) \quad (\text{hPa}),$$

enquanto que a umidade relativa do ar, U , é dada por:

$$U = 100 \cdot e' / ew'(P,t) \quad (\%),$$

sendo $ew'(P,t)$ a pressão parcial de saturação do vapor d'água à temperatura de bulbo seco:

$$ew'(P,t) = f(P) \cdot ew(t) \quad (\text{hPa})$$

$$ew(t) = 6,112 \cdot \exp[17,62 \cdot t / (243,12 + t)] \quad (\text{hPa}).$$

A temperatura de ponto de orvalho td é obtida empregando-se a função inversa da expressão analítica que a associa à pressão parcial do vapor d'água:

$$e' = 6,112 \cdot \exp[17,62 \cdot td / (243,12 + td)] \quad (\text{hPa}),$$

ou seja,

$$td = \frac{243,12 \cdot \ln(e' / (6,112 \cdot f(P)))}{17,62 - \ln(e' / 6,112 \cdot f(P))} \quad (\text{ }^{\circ}\text{C}).$$

Por fim, a umidade específica, q , ou o quociente entre os valores assumidos pela massa de vapor d'água e pela massa total de ar úmido num mesmo volume, é obtida a partir da pressão parcial do vapor d'água e da pressão atmosférica:

$$q = 1000 \cdot \frac{(Mv / Md) \cdot (e' / P)}{1 - (1 - Mv / Md) \cdot (e' / P)} \quad (\text{g/kg}),$$

sendo M_v e M_d os valores assumidos pelo peso molecular da água (18,015 g) e ao ar seco (28,97 g).

Por outro lado, a operação contínua do microbarógrafo, do termógrafo e do higrógrafo leva à obtenção de valores simultâneos para a pressão atmosférica P (hPa), a temperatura do ar t ($^{\circ}$ C) e a umidade relativa do ar U (%). A disponibilidade destes registros é de particular interesse entre 00h e 07h, período ao longo do qual não são efetuadas leituras diretas com o barômetro de mercúrio e o psicrômetro. A comparação destes registros com as respectivas avaliações de pressão atmosférica, de temperatura do ar e de umidade relativa do ar às 00h e às 07h permite a redução de erros sistemáticos inerentes à operação daqueles três instrumentos ao longo da madrugada. Entre 01h e 06h, a pressão parcial do vapor d'água é dada por

$$e' = (U / 100) \cdot ew'(P, t) \quad (\text{hPa}),$$

sendo $ew'(P, t)$ a pressão parcial de saturação do vapor d'água à temperatura do ar. A disponibilidade de avaliações de e' permite a obtenção dos valores assumidos pela temperatura de ponto de orvalho e pela umidade específica do ar, mediante as mesmas expressões aplicadas entre 07h e 24h.

Todas estas etapas são seguidas desde 1º de agosto de 2000 na análise em “tempo real” das leituras dos bulbos do psicrômetro (para efeito de atendimento a consultas formuladas via telefone) assim como na organização dos dados atuais e passados nos arquivos “folha” (ver **ACERVO DE DADOS**).

As avaliações de temperatura e umidade relativa do ar ao longo da madrugada entre 00h e 07h, a partir das leituras do termômetro e do higrômetro, são obtidas da seguinte forma:

$$T_{\text{orvalho}} = T_{\text{ar}} - \frac{1}{R} \ln \left(\frac{P_{\text{ar}}}{P_{\text{sat}}(T_{\text{ar}})} \right) = 13,5 - \frac{1}{10,7} \ln \left(\frac{1013,2}{1013,2 - 0,0127 \cdot 13,5} \right) = 13,5 - 0,0127 \cdot 13,5 = 13,487^{\circ}\text{C}$$

As avaliações de temperatura e umidade relativa do ar ao longo da madrugada entre 00h e 07h, a partir das leituras do termômetro e do higrômetro, são obtidas da seguinte forma:

$$\theta_{\text{ar}} = T_{\text{ar}} - \frac{1}{R} \ln \left(\frac{P_{\text{ar}}}{P_{\text{sat}}(T_{\text{ar}})} \right) = 13,5 - \frac{1}{10,7} \ln \left(\frac{1013,2}{1013,2 - 0,0127 \cdot 13,5} \right) = 13,487^{\circ}\text{C}$$

$$U_{\text{ar}} = \frac{100}{1 + \left(\frac{100 - \theta_{\text{ar}}}{100} \right)^{0,133}} = \frac{100}{1 + \left(\frac{100 - 13,487}{100} \right)^{0,133}} = 89,5\%$$

As avaliações de temperatura e umidade relativa do ar ao longo da madrugada entre 00h e 07h, a partir das leituras do termômetro e do higrômetro, são obtidas da seguinte forma:

$$T_{\text{orvalho}} = T_{\text{ar}} - \frac{1}{R} \ln \left(\frac{P_{\text{ar}}}{P_{\text{sat}}(T_{\text{ar}})} \right) = 13,5 - \frac{1}{10,7} \ln \left(\frac{1013,2}{1013,2 - 0,0127 \cdot 13,5} \right) = 13,487^{\circ}\text{C}$$

$$\theta_{\text{ar}} = T_{\text{ar}} - \frac{1}{R} \ln \left(\frac{P_{\text{ar}}}{P_{\text{sat}}(T_{\text{ar}})} \right) = 13,5 - \frac{1}{10,7} \ln \left(\frac{1013,2}{1013,2 - 0,0127 \cdot 13,5} \right) = 13,487^{\circ}\text{C}$$

As avaliações de temperatura e umidade relativa do ar ao longo da madrugada entre 00h e 07h, a partir das leituras do termômetro e do higrômetro, são obtidas da seguinte forma:

$$T_{\text{orvalho}} = T_{\text{ar}} - \frac{1}{R} \ln \left(\frac{P_{\text{ar}}}{P_{\text{sat}}(T_{\text{ar}})} \right) = 13,5 - \frac{1}{10,7} \ln \left(\frac{1013,2}{1013,2 - 0,0127 \cdot 13,5} \right) = 13,487^{\circ}\text{C}$$

IRRADIAÇÃO SOLAR GLOBAL DIÁRIA

A quantidade de energia radiante que atinge uma superfície plana, por unidades de área e de tempo é denominada irradiação, sendo expressa em W/m^2 no Sistema Internacional de unidades. A integração de irradiações sobre um determinado período de tempo é denominada irradiação. A irradiação solar global compreende quantidades de energia radiante provenientes do disco solar aparente bem como de todo o céu situado acima da superfície horizontal de interesse. A irradiação solar global diária envolve a integração, ao longo de todo o período diurno, de valores instantâneos da irradiação solar global. O procedimento de avaliação da irradiação solar global diária incidente à proximidade do solo a partir de registros obtidos com o actinógrafo Fuess 58d foi modificado em 1998, no intuito de se eliminar erros sistemáticos. O procedimento atual é descrito a seguir.

A irradiação solar global diária Q resulta do produto de três quantidades,

$$Q = k \cdot A \cdot f \quad (\text{J/m}^2),$$

sendo k um fator de calibração, A a área compreendida entre a linha de registro e a linha obtida por interpolação linear entre os valores mínimos de registro durante as noites anterior e posterior, e f um fator de correção sazonal. O fator k é numericamente igual à irradiação solar global diária por unidade de área integrada entre aquelas linhas e, no procedimento atual, vale

$$k = 1,022 \cdot 14,25$$

sendo **1,022** um fator adimensional de conversão entre duas escalas radiométricas, a *World Radiometric Reference Scale* (Fröhlich, 1991) atualmente em vigor e a *International Pyrheliometric Scale* (Thekaekara, 1976) à qual o instrumento foi originalmente calibrado em 1960, e **14,25** o fator de calibração fornecido pelo fabricante, em cal/cm^2 de energia radiante por centímetro quadrado de área integrada. Este fator k é posteriormente modificado, convertendo-se cal/cm^2 em J/m^2 . O fator f na expressão da irradiação solar global diária Q corresponde a uma correção sazonal proposta pelo fabricante do instrumento, que apresenta a seguinte aproximação:

$$f = 0,734 + 0,00641 \cdot ho - 0,000033 \cdot ho \cdot ho \quad (\text{adim.}),$$

sendo ho a elevação solar no instante da passagem meridiana (meio-dia solar), dada por:

$$ho = \text{asin}(\sin \varphi \cdot \sin \delta\sigma + \cos \varphi \cdot \cos \delta\sigma) \cdot 180^\circ / \pi \quad (\text{graus}),$$

sendo φ a latitude do ponto de observação e $\delta\sigma$ um valor típico assumido pela declinação solar para a data de interesse. Avaliações da irradiação solar global diária são posteriormente submetidas a duas interpretações. A primeira delas procura referir tais avaliações àquelas que seriam efetuadas por um instrumento sensível a uma região mais larga do espectro solar, mas explicitamente por um piranômetro dotado de cúpulas Schott WG295. Valores desta “estimativa piranômetro” Q' são obtidas aplicando-se a seguinte relação:

$$Q' = 7,86 + 1,25 \cdot Q \quad (\text{J/m}^2),$$

derivada a partir de observações simultâneas efetuadas entre julho e dezembro de 1976 com o actinógrafo Fuess 58d em uso e um piranômetro espectral Eppley, ambos calibrados em relação à *International Pyrheliometric Scale*. A segunda interpretação efetuada para avaliações de Q ocorre em termos da transmissão global diária da atmosfera, ou seja do quociente entre a irradiação solar global diária observada à proximidade do solo e aquela que seria observada se o instrumento estivesse instalado acima da atmosfera terrestre. Esta última quantidade pode ser expressa como (Paltridge & Platt, 1976, pp. 66-67):

$$Qo = (1/d)^2 \cdot Eo \cdot (2 \cdot H \cdot \sin \varphi \cdot \sin \delta\sigma + 2 \cdot \cos \varphi \cdot \cos \delta\sigma \cdot \sin H) \cdot 86400^s / 360^\circ \quad (\text{J/m}^2),$$

sendo d a distância Terra-Sol em unidades astronômicas para a data de interesse, Eo o valor da constante solar corrigido às características do instrumento empregado na avaliação de Q , e H o ângulo horário no momento do ocaso solar (por-de-Sol), dado por:

$$H = \cos(-\tan \varphi \cdot \tan \delta_0)$$

(adim.).

A constante E_0 na expressão da irradiação solar diária ``no topo da atmosfera'' Q_0 pode ou não ser adaptado às características espetrais do instrumento empregado na avaliação da irradiação solar global diária Q . No procedimento atual, valores da transmissão global diária da atmosfera são obtidos empregando-se Q' ao invés de Q , e considerando-se na avaliação de Q_0 o valor

$$E_0 = 1367 \text{ W/m}^2,$$

empregado em modelos numéricos de circulação geral concebidos para estudos climáticos (Kiehl et al., 1996) e compatível com observações efetuadas por radiômetros instalados em satélites artificiais (Mecherikunnel, 1996).

Valores típicos para a declinação solar e para o fator de correção da distância Terra-Sol para a data de interesse são obtidos empregando-se as seguintes aproximações polinomiais:

$$\begin{aligned}\delta_0 = & (0,006918 - 0,399912 \cdot \cos \Theta_n + \\& + 0,070257 \cdot \sin \Theta_n - \\& - 0,006758 \cdot \cos(2 \cdot \Theta_n) + \\& + 0,000907 \cdot \sin(2 \cdot \Theta_n) - \\& - 0,002697 \cdot \cos(3 \cdot \Theta_n) + \\& + 0,00148 \cdot \sin(3 \cdot \Theta_n)) \cdot 180^\circ / \pi.\end{aligned}\quad (\text{graus})$$

$$\begin{aligned}(1/d)^2 = & 1,000110 + 0,034221 \cdot \cos \Theta_n + \\& + 0,001280 \cdot \sin \Theta_n - \\& - 0,000719 \cdot \cos(2 \cdot \Theta_n) + \\& + 0,000077 \cdot \sin(2 \cdot \Theta_n)\end{aligned}\quad (\text{adim.})$$

$$\Theta_n = 2 \cdot \pi \cdot dn / 365 \quad (\text{adim.}),$$

sendo dn uma variável inteira associada à data de interesse, assumindo o valor zero para o dia primeiro de janeiro, o valor 365 para o dia 31 de dezembro, e – em anos bissextos – o mesmo valor para os dias 28 e 29 de fevereiro. Estas aproximações polinomiais foram propostas no início dos anos 1970, sendo desde então recomendadas em livros-texto de Radiação Atmosférica (Paltridge & Platt, 1976, pp.57-63) e incluídas em modelos numéricos de circulação geral concebidos para estudos climáticos (Davies, 1982; Kiehl et al., 1996).

O procedimento descrito acima foi introduzido paulatinamente ao longo do ano de 1998, sendo desde então seguido na organização de dados atuais e passados nos arquivos “solar” (ver **ACERVO DE DADOS**).

Além das informações sobre a irradiação solar global diária, os arquivos “solar” armazenam outras informações sobre a radiação solar, tais como a irradiação solar direta, a irradiação solar indireta e a irradiação solar total. As informações sobre a irradiação solar direta e indireta são obtidas através de cálculos baseados nas informações sobre a irradiação solar global e sobre a distribuição vertical da radiação solar. A irradiação solar total é a soma das irradiações direta e indireta.

As informações sobre a irradiação solar global diária, a irradiação solar direta e indireta e a irradiação solar total são armazenadas em arquivos separados, que são gerados periodicamente. Os arquivos de irradiação solar direta e indireta são gerados a cada hora, enquanto o arquivo de irradiação solar global é gerado a cada dia. O arquivo de irradiação solar total é gerado a cada dia.

As informações sobre a irradiação solar direta e indireta são armazenadas em arquivos separados, que são gerados a cada hora, enquanto o arquivo de irradiação solar global é gerado a cada dia. O arquivo de irradiação solar total é gerado a cada dia.

INSOLAÇÃO RELATIVA DIÁRIA

ACERVO DE DADOS

Denominamos insolação diária (ou duração diária do brilho solar) o número de horas entre o nascer e o ocaso do disco solar aparente ao longo das quais a irradiação solar foi capaz de promover a queima da fita de papel concebida para o heliógrafo. A insolação relativa diária constitui o quociente entre a insolação diária e seu respectivo limite teórico, avaliado a partir de informações relativas à posição do disco solar aparente e à localização geográfica do ponto de observação.

O procedimento de avaliação deste limite foi modificado em 1998, no intuito de se eliminar erros sistemáticos. Os efeitos da refração atmosférica foram desprezados, e a duração teórica do brilho solar N (em horas) passou a ser avaliada como:

$$N = 2 \cdot \text{acos} (-\tan \varphi \cdot \tan \delta_0) \cdot 12^h / \pi,$$

sendo φ a latitude do ponto de observação e δ_0 um valor típico assumido pela declinação solar para a data de interesse, obtido mediante uma aproximação polinomial de uso freqüente na comunidade meteorológica (ver **IRRADIAÇÃO SOLAR GLOBAL DIÁRIA**).

O procedimento descrito acima foi introduzido paulatinamente ao longo do ano de 1998, sendo desde então seguido na organização de dados atuais e passados nos arquivos “solar” (ver **ACERVO DE DADOS**).

O acréscimo de insolação relativa observada em 1998, quando comparado ao resultado obtido em 1997, é de aproximadamente 1 hora, ou seja, 30 minutos. O resultado obtido em 1998 é considerado mais preciso, devido ao menor efeito da refração atmosférica.

A insolação relativa observada em 1998 é menor que a insolação relativa observada em 1997, devido ao menor efeito da refração atmosférica. O resultado obtido em 1998 é considerado mais preciso, devido ao menor efeito da refração atmosférica.

A insolação relativa observada em 1998 é menor que a insolação relativa observada em 1997, devido ao menor efeito da refração atmosférica.

ACERVO DE DADOS

O ano de 1997 foi marcado pelo início do processo de digitalização de todo o acervo de dados sob a forma de arquivos Microsoft EXCEL¹). Frações importantes deste acervo foram sujeitas no passado a processos similares mas envolvendo formas de arquivamento que caíram em desuso, ainda numa época anterior ao surgimento das facilidades oferecidas pelos meios atuais de transferência de informação. A digitalização do acervo teve continuidade durante o ano de 2000; como tem sido feito até aqui, cada etapa (redução, digitação, verificação) envolve a participação de um membro diferente do corpo técnico.

A presente forma de organização se baseia sobre quatro diferentes tipos de arquivos (ver Tabela 1). Todos os dados correspondentes aos anos de 1993-2000 e 2001 (até os dias atuais) já se encontram organizados sob tal forma. Os dados coletados no presente são tratados o mais cedo possível, garantindo-se com isto a atualidade do acervo com vistas ao atendimento de consultas formuladas por instituições públicas e privadas. Os dados anteriores a 1º de janeiro de 1996 têm sido paulatinamente tratados, buscando-se a organização de todo o acervo sob uma forma única de arquivamento. Neste processo de digitalização, algumas variáveis têm recebido maior dedicação por parte do corpo técnico da Estação Meteorológica, em função do grau de demanda (ver Tabela 2).

Toda a série histórica de precipitação encontra-se disponível em arquivos “chuva”. Cada arquivo contém 12 páginas mensais contendo, dia a dia, os valores horários de altura (em milímetros de chuva) e de duração (estimativa do período com chuva em minutos). Em cada página mensal (ver Tabela 3) são também indicados os totais diários e mensais, bem como uma comparação entre estes últimos e nossos valores médios sobre o período 1933-1972. Cada arquivo contém ainda uma décima terceira página, que resume os totais diários.

Os arquivos “solar” reúnem informações pertinentes à análise dos registros actinográficos e heliográficos, ou seja sobre a irradiação solar global diária e sobre a insolação relativa diária. A diagramação das páginas mensais (ver Tabela 4) permite a comparação direta entre diversas quantidades, seja decorrentes da análise de registros, seja avaliadas teoricamente para condições ideais. Além destas páginas mensais, os arquivos “solar” contém quatro outras páginas contendo valores diários e respectivos valores mensais (a) da estimativa da irradiação solar global diária que seria medida com um piranômetro instalado à superfície (em MJ/m²), (b) da transmissão global da atmosfera (em %), (c) da duração diária do brilho solar (em horas) e (d) da insolação relativa (em %).

Os arquivos “vento” reúnem diversas informações extraídas do anemograma diário. O grau de detalhamento alcançado pode ser apreciado na diagramação das páginas mensais destes arquivos (ver Tabela 5). Nestas páginas são apresentadas as seguintes informações relativas ao vento horizontal:

- dia a dia, entre cada hora inteira – direção predominante e velocidade média (em quilômetros percorridos numa hora por uma parcela de ar imaginária);
- dia a dia – direção predominante diária, ou seja aquela que se mostrou a mais freqüente ao longo do dia, prevalecendo aquela com maior velocidade média em caso de empate;
- dia a dia – velocidade média diária, reunindo-se todas as direções;
- dia a dia – máximo valor diário da velocidade média horária, reunindo-se todas as direções;
- dia a dia – velocidade instantânea (em metros por segundo) associada à rajada máxima diária, e respectiva direção;
- para o mês – direção predominante, ou seja aquela que se mostrou a mais freqüente ao longo do mês, prevalecendo aquela com maior velocidade média em caso de empate;
- para o mês – velocidade média mensal, reunindo-se todas as direções;
- para o mês – máximo valor mensal da velocidade média horária, reunindo-se todas as direções;
- para o mês – velocidade instantânea associada à rajada máxima mensal, e respectiva direção.

Os arquivos “folha” reúnem informações sobre todas as variáveis que não estão organizadas nos arquivos “chuva”, “solar” e “vento”, já levando-se em conta as modificações efetuadas em 2000 no procedimento de análise das leituras do psicrômetro (ver **UMIDADE DO AR - II**). A diagramação das páginas diárias dos arquivos “folha” foi modificada em 2000, deixando de representar a folha (de papel) empregada na síntese das

¹ A menção de marcas e produtos é aqui efetuada unicamente para comodidade do leitor, e não deve ser encarada como forma de publicidade. Outras planilhas eletrônicas poderiam, em princípio, ter sido escolhidas de forma a atender nossos objetivos de portabilidade e de facilidade no atendimento a usuários.

observações efetuadas pelo corpo técnico. Em sua configuração atual, os arquivos “folha” contém duas páginas dedicadas para cada dia do calendário. A primeira destas duas páginas (ver Tabela 6A) resume todas as informações efetivamente observadas, entre 07h e 24h, mais os totais horários de evaporação. A segunda destas páginas (ver Tabela 6B) contém, além de quase todas as informações apresentadas na página anterior, o cálculo de outras variáveis. Assim, a primeira página trata apenas de observações, enquanto que a segunda reúne todas as informações de interesse sejam elas fruto de observação ou de cálculo. Esta dupla paginação também permite que todo o formulário de cálculo, célula a célula, seja colocado sob uma única senha. Além destas páginas diárias, os arquivos “folha” contém 19 outras páginas, resumindo as seguintes informações:

- dia a dia, hora a hora – pressão atmosférica (à gravidade normal), temperatura do ar, umidade relativa do ar, e umidade específica do ar;
- dia a dia, hora a hora entre 07h e 24h – visibilidade horizontal; tipo de nuvens baixas, médias e altas; quantidade de nuvens baixas, médias e altas; cobertura total de nuvens; temperatura da superfície do solo; e temperatura do solo a 5, 10, 20, 30 e 40 centímetros de profundidade;
- dia a dia – todas as leituras efetuadas com os termômetros de máxima e de mínima (temperatura do ar); todas as leituras efetuadas com os três pluviômetros e com o pluviógrafo (07h, 14h, 21h e 24h); e totais diários de evaporação.

Observações diárias e totais que são encodificadas em arquivos manuais anônimos (I) e Padrão T eA
até que o original não possa ser identificado ou verificado no seu conteúdo original

Observações diárias registradas em arquivos manuais anônimos (I) e padrão T. As
informações registradas em arquivos manuais anônimos (I) e padrão T incluem a visibilidade horizontal,
o tipo de nuvens baixas, médias e altas, a cobertura total de nuvens, a temperatura da superfície do solo e a temperatura do solo a 5, 10, 20, 30 e 40 cm de profundidade. As leituras efetuadas com os três pluviômetros e com o pluviógrafo (07h, 14h, 21h e 24h) e os totais diários de evaporação.

Leituras diárias e totais registradas em arquivos manuais anônimos (I) e padrão T. As
informações registradas em arquivos manuais anônimos (I) e padrão T incluem a visibilidade horizontal,

o tipo de nuvens baixas, médias e altas, a cobertura total de nuvens, a temperatura da superfície do solo e a temperatura do solo a 5, 10, 20, 30 e 40 cm de profundidade. As leituras efetuadas com os três pluviômetros e com o pluviógrafo (07h, 14h, 21h e 24h) e os totais diários de evaporação.

Leituras diárias e totais registradas em arquivos manuais anônimos (I) e padrão T. As
informações registradas em arquivos manuais anônimos (I) e padrão T incluem a visibilidade horizontal,

o tipo de nuvens baixas, médias e altas, a cobertura total de nuvens, a temperatura da superfície do solo e a temperatura do solo a 5, 10, 20, 30 e 40 cm de profundidade. As leituras efetuadas com os três pluviômetros e com o pluviógrafo (07h, 14h, 21h e 24h) e os totais diários de evaporação.

RESUMO - ANO DE 2000

As tabelas a seguir resumem o comportamento de diversas variáveis ao longo do ano de 2000. Tabelas semelhantes poderiam ser preparadas para as demais variáveis. Informações com maior detalhamento (por exemplo, valores horários) podem ser obtidas mediante solicitação.

A Tabela 7 apresenta valores médios diários da pressão atmosférica (sala do observador) obtidos a partir de 24 valores horários. Estes valores horários são deduzidos seja a partir da leitura do barômetro (07h – 24h), seja da redução do registro do microbarógrafo (00h – 07h). Eventuais discrepâncias entre os valores provenientes dos dois instrumentos às 00h e às 07h são linearmente distribuídas entre estes dois horários, de forma a estimar valores que seriam obtidos caso houvessem observações diretas do barômetro.

A Tabela 8 apresenta valores médios diários da temperatura do ar (abrigó principal do cercado meteorológico) obtidos a partir de 24 valores horários. Estes valores horários são deduzidos seja a partir da leitura do bulbo seco do psicrômetro (07h – 24h), seja da redução do registro do termôgrafo (00h – 07h). Discrepâncias entre os valores provenientes dos dois instrumentos às 00h e às 07h são linearmente distribuídas entre estes dois horários, de forma a estimar valores que seriam obtidos caso houvessem observações diretas do psicrômetro.

As Tabelas 9 e 10 apresentam valores extremos diários da temperatura do ar, obtidos a partir de diversas leituras efetuadas com os termômetros de mínima e de máxima ao longo de cada dia.

A Tabela 11 apresenta valores médios diários da umidade relativa do ar (abrigó principal do cercado meteorológico) obtidos a partir de 24 valores horários. Estes valores horários são deduzidos seja a partir da leitura do psicrômetro (07h – 24h), seja da redução do registro do higrógrafo (00h – 07h). Discrepâncias entre os valores provenientes dos dois instrumentos às 00h e às 07h são linearmente distribuídas entre estes dois horários, de forma a estimar valores que seriam obtidos caso houvessem observações diretas do psicrômetro.

A Tabela 12 apresenta valores mínimos diários da umidade relativa do ar identificados entre os próprios 24 valores horários deduzidos para cada dia que proporcionam os valores médios presentes na tabela anterior.

As Tabelas 13 e 14 apresentam valores diários para a velocidade média e para a direção predominante do vento (alto da torre da Estação), obtidos a partir da redução do registro do anemógrafo. A velocidade média diária consiste no número de “quilômetros percorridos” associados ao movimento de uma parcela de ar imaginária, já reunindo-se todas as direções, dividido por 24. A direção predominante diária é identificada como a mais freqüente entre as 24 direções horárias; caso uma ou mais destas apresentem a mesma freqüência, identifica-se aquela que corresponde ao maior número de “quilômetros percorridos” ao longo do dia.

A Tabela 15 apresenta totais diários de precipitação (cercado meteorológico) obtidos a partir da redução do registro do pluviógrafo. A parte inferior desta tabela compara os resultados correspondentes ao ano de 1999 com os respectivos valores médios sobre o período 1933-2000.

As Figuras 1 e 3 compararam, mês a mês, os valores mínimos e máximos para a temperatura do ar ao longo dos anos de 1999 e 2000 com os respectivos mínimos e máximos absolutos para o período 1933-2000. As Figuras 2 e 4 apresentam estes mesmos valores extremos e o respectivo ano de ocorrência. A Figura 5 compara, mês a mês, os valores médios para a temperatura do ar ao longo dos anos de 1999 e 2000. As Figuras 6 e 7 compararam, mês a mês, o número de dias de ocorrência de nevoeiro e de garoa (chuvisco leve) ao longo dos anos de 1999 e 2000 com os respectivos valores médios para o período 1933-2000. A Figura 8 compara, mês a mês, os totais mensais de precipitação ao longo de 1999 e 2000 com os respectivos valores médios para o período 1933-2000. Estes valores médios são comparados, na Figura 9, com os respectivos máximos absolutos observados no mesmo período para os totais mensais de precipitação. Por fim a Figura 10 relembra, mês a mês, os valores máximos do total diário de precipitação para o período 1933-2000 e o respectivo ano de ocorrência. A gradativa digitalização do acervo de dados permitirá no futuro próximo a elaboração de outros diagramas sobre o comportamento destas e de outras variáveis atmosféricas.

REFERÊNCIAS BIBLIOGRÁFICAS

- Davies, R. – 1982 – “Documentation of the Solar Radiation Parameterization in the GLAS Climate Model”. NASA Tech. Memo. No.83961, 57pp., Goddard Space Flight Center, Greenbelt.
- Fröhlich, C. – 1991 – History of solar radiometry and the World Radiometric Reference. Metrologia, 28: 111-115.
- Kiehl, J.T., J.J. Hack, G.B. Bonan, B.A. Boville, B.P. Briegleb, D.L. Williamson & P.J. Rasch – 1996 – “Description of the NCAR Community Climate Model (CCM3)”. Publ. NCAR/TN-420+STR, 152pp., National Center for Atmospheric Research, Boulder.
- Mecherikunnel, A.T. – 1996 – Solar total irradiance observations from spacecraft: 1992-1993. Journal of Geophysical Research, 101(A8): 17073-17079.
- Paltridge, G.W. & Platt, C.M.R. – 1976 – “Radiative Processes in Meteorology and Climatology”. Elsevier.
- dos Santos, P.M. – 1964 – “O Serviço Meteorológico do Instituto Astronômico e Geofísico da Universidade de São Paulo”. IAG-USP, São Paulo (re-impresso em 1998).
- Thekaekara, M.P. – 1976 – Solar radiation measurement: techniques and instrumentation. Solar Energy, 18: 309-325.
- WMO – 1994 – “Guide to Hydrological Practices (4th Edition)”. Geneva, World Meteorological Organization, publicação WMO No. 168.
- WMO – 1996 – “Guide to Meteorological Instruments and Methods of Observation (6th Edition)”. Geneva, World Meteorological Organization, publicação WMO No. 8.

Meteorological element	Instrumental technique	Observation methods	Remarks
Cloudiness	Visible light	Visual observation	
Cloudiness	Infrared	Visual observation	
Solar radiation	Visible light	Visible photometer	Indirect method
Solar radiation	Infrared	Infrared photometer	Indirect method
Solar radiation	Visible light	Visible spectrometer	Direct method
Solar radiation	Infrared	Infrared spectrometer	Direct method
Solar radiation	Visible light	Visible radiometer	Indirect method
Solar radiation	Infrared	Infrared radiometer	Indirect method
Solar radiation	Visible light	Visible radiometer	Direct method
Solar radiation	Infrared	Infrared radiometer	Direct method
Solar radiation	Visible light	Visible spectroradiometer	Indirect method
Solar radiation	Infrared	Infrared spectroradiometer	Indirect method
Solar radiation	Visible light	Visible photodiode array	Indirect method
Solar radiation	Infrared	Infrared photodiode array	Indirect method
Solar radiation	Visible light	Visible sensor	Indirect method
Solar radiation	Infrared	Infrared sensor	Indirect method
Solar radiation	Visible light	Visible detector	Indirect method
Solar radiation	Infrared	Infrared detector	Indirect method
Solar radiation	Visible light	Visible detector array	Indirect method
Solar radiation	Infrared	Infrared detector array	Indirect method

TABELAS E FIGURAS

Tabela 1. Arquivos utilizados na organização do acervo de dados.

Arquivos	Principais variáveis
“chuva”, anual	<ul style="list-style-type: none"> • totais horários de precipitação
“folha”, mensal	<ul style="list-style-type: none"> • valores horários de pressão atmosférica, temperatura do ar e umidade do ar • valores horários (entre 07h e 24h) de visibilidade horizontal; tipo e quantidade de nuvens baixas, médias e altas; direção predominante e velocidade média do vento horizontal; temperatura do solo; e evaporação • totais de precipitação e valores extremos de temperatura do ar correspondentes a diversos períodos do dia
“solar” (de radiação <u>solar</u>), anual	<ul style="list-style-type: none"> • totais diários de irradiação solar global, seus respectivos valores que seriam observados por um piranômetro, e estimativas da transmissão global da atmosfera • totais horários de duração do brilho solar, e estimativas da insolação relativa diária
“vento”, mensal	<ul style="list-style-type: none"> • direção predominante e velocidade média do vento entre cada hora inteira • rajada máxima diária (direção e velocidade)

Tabela 2. Situação em que se encontra a digitalização do acervo de dados, e respectivos arquivos. 01/2000 indica o mês de janeiro do ano de 2000.

Variáveis	Período de observação	Registros já analisados	Período já digitalizado (tipo de arquivo)
visibilidade horizontal	07/1957 – hoje		01/1992 – ontem (folha)
nebulosidade	01/1933 – hoje		01/1992 – ontem (folha)
vento horizontal	01/1933 – hoje	01/1933 – 12/1956, 01/1975 – 12/2000	01/1990 – 12/2000 (vento), 01/1992 – ontem (folha)
pressão atmosférica	01/1933 – hoje	01/1984 – 12/2000	01/1986 – ontem (folha)
temperatura do ar	01/1933 – hoje	01/1933 – 12/1949, 01/1984 – 12/2000	01/1934 – 12/1935, 01/1986 – ontem (folha)
umidade do ar	01/1933 – hoje	01/1984 – 12/2000	01/1986 – ontem (folha)
temperatura do solo	07/1957 – hoje		01/1993 – ontem (folha)
evaporação	01/1933 – hoje		01/1992 – ontem (folha)
precipitação	01/1933 – hoje	01/1933 – 12/2000	01/1933 – 12/2000 (chuva), 01/1993 – ontem (folha)
irradiação solar global	01/1961 – hoje	01/1989 – 12/2000	01/1989 – 12/2000 (solar)
duração do brilho solar	01/1933 – hoje	01/1933 – 12/2000	01/1933 – 12/2000 (solar)

Tabela 6A. Página "dia 29(a)" do arquivo "folha" correspondente ao mês de fevereiro de 2000.

29 DE FEVEREIRO DE 2000

INSTITUTO ASTRONÔMICO E GEOFÍSICO DA UNIVERSIDADE DE SÃO PAULO

OBSERVAÇÕES METEOROLÓGICAS DE SUPERFÍCIE

(Latitude = 23.65 Sul, Longitude = 46.62 Oeste, Altitude = 800 metros)

HORA	VIS.	NUVENS				VENTO	PRESSÃO		TEMP. DO AR		TEMPERATURA DO SOLO						EVAPORAÇÃO			TEMP. DO AR		HORA				
		BAIXAS		MÉDIAS			Temp. Barôm. (°C)	Leitura Barôm. (mmHg)	Bulbo Seco (°C)	Bulbo Úmido (°C)	SUP. (°C)	5cm (°C)	10cm (°C)	20cm (°C)	30cm (°C)	40cm (°C)	Piché Abrigo (mm)	Piché Ar Livre (mm)	Máxima (°C)	Mínima (°C)						
		Tipo	Qut.	Tipo	Qut.																					
							24,1	697,5	19,6	19,4								16,50	4,00							
7	5	Sc	1			Ci/Cc	5	C	0	24,7	697,9	19,9	19,6	20	20,6	21,6	23,3	24,2	24,9	16,6	16,60	3,95	3,95	19,9	18,8	7
8	5					Ci	9	C	0	24,3	698,1	22,9	21,4	25	23,2	22,1	23,3	24,2	24,9	16,6	16,60	4	4,00			8
9	5	Sc	1			Ci	7	C	0	25,3	698,5	25,6	21,9	28	26,3	23,6	23,3	24,1	24,9	16,65	16,65	4,05	4,05			9
10	7	Sc	3			Ci	6	NNW	1	26	698,7	27,4	21,6	30,5	29,3	25,7	23,6	24,1	24,9	16,8	16,80	4,35	4,35			10
11	7	Sc/Cu	6			Ci	1	C	0	26,5	698,7	28,7	21,4	32,6	31	27,5	24,1	24,2	24,8	17	17,00	4,8	4,80			11
12	7	Cu/Sc	8			C	0			26,7	698,4	28,5	21,4	30,7	30,6	28,1	24,6	24,2	24,7	17,25	17,25	5,2	5,20			12
13	7	Cu/Sc	8			C	0			27	697,8	29,1	21,7	32,3	29,6	28,1	25,2	24,5	24,7	17,4	17,40	5,55	5,55			13
14	6	Sc/Cu	10			E	3			27,2	697,6	27,4	23	27,5	29,5	28,4	25,5	24,6	24,7	17,6	17,60	5,9	5,40	29,2	19,2	14
15	6	Sc	10			ENE	9			26,4	697,2	23,8	21,6	23,2	27,2	27,4	25,7	24,7	24,6	17,7	17,70	5,4	5,30	27,7		15
16	6	Sc/Cb	10			C	0			24,6	697,3	20	19,6	20	23,2	25,4	25,8	25,1	24,6	17,8	17,80	5,3	5,30			16
17	6	Sc/St	10			NNE	1			24,8	697,6	20	19	19,5	25,4	24,8	25,6	25,2	24,7	17,9	17,90	5,3	5,30			17
18	6	Sc/St	10			ESE	2			24	697,9	19,4	19	19	22	24	25,4	25	24,7	17,9	17,90	5,3	5,30			18
19	6	Sc	8			C	0			23,5	697,5	19,7	19,2	19	21,8	23,4	25	25	24,8	17,9	17,90	5,3	5,30			19
20	6	Sc	1			C	0			23,5	698,2	19,6	19,1	19	21,4	23	24,6	25	24,8	17,9	17,90	5,3	5,30			20
21	6					C	0			23,5	698,6	19,4	19	19	21	22,6	24,4	24,8	24,8	17,95	17,95	5,3	0,70	27,7	19,2	21
22	6	Sc/St	3			C	0			23,5	699	19,9	19,6	19,5	21	22,4	24,2	24,6	24,8	17,95	17,95	0,7	0,70			22
23	5					C	0			23,5	699	20,4	20	19	20,8	22,2	23,4	24,4	24,8	18	18,00	0,7	0,70			23
24	5	Sc	1			C	0			23,5	698,6	20,2	19,9	19	20,8	22	23,8	24,4	24,8	18	18,00	0,7	0,70	20,4	19,2	24

FENÔMENOS DIVERSOS				PRECIPITAÇÃO				
MADRUGADA	ORVALHO			Paulista 1	07h	14h	21h	24h
7h	NEVOENTO				0,1	0,0	55,7	T
13:53	RESPINGOS			Ville de Paris	T	0,0	54,8	T
13:58	CHUVA LEVE/MODERADA/LEVE			Paulista 2	T	0,0	55,6	0,1
14:06	TROVÕES A N			Pluviógrafo	0,1	0,0	55,7	0,0
15:05	TROVADAS A NW							
15:02	CHUVA LEVE/MODERADA/FORTE/MODERADA INTERMITENTE							
15:05	TROVADAS A W e NE							

HORA	REGISTRADORES		
	termogr. (°C)	higrôgr. (%)	μ-barôgr. (mmHg)
0	18,5	98	693,3
1	19,3	98	692,9
2	19,2	98	692,7
3	19,1	98	692,4
4	19,0	98	692,4
5	19,2	98	692,9
6	19,0	98	693,2
7	19,0	98	693,5

Tabela 15. Totais diários de precipitação para o ano de 2000.

INSTITUTO ASTRONÔMICO E GEOFÍSICO DA UNIVERSIDADE DE SÃO PAULO

TOTAIS DIÁRIOS DE PRECIPITAÇÃO (mm) - 2000

DIA / MÊS	JAN.	FEV.	MAR.	ABR.	MAI.	JUN.	JUL.	AGO.	SET.	OUT.	NOV.	DEZ.	
1	27,4	6,9	0,1	0,0	0,0	2,1	0,0	0,0	21,2	0,1	0,0	1,4	
2	21,5	0,0	0,0	1,8	0,0	0,0	0,1	0,0	24,1	0,0	0,0	0,1	
3	21,7	0,0	46,2	1,8	0,0	0,0	0,4	0,0	5,7	0,0	1,0	0,0	
4	8,2	21,9	0,0	0,0	0,0	0,0	0,1	0,0	0,5	34,7	0,1	4,0	
5	8,0	18,5	2,6	0,0	0,0	0,0	0,0	0,0	0,0	2,2	0,0	17,1	
6	16,6	0,0	0,0	0,0	2,5	0,0	0,0	0,0	0,0	0,2	0,0	0,3	
7	1,2	0,3	45,7	0,0	0,0	0,0	0,0	1,3	0,0	0,0	2,0	0,0	
8	18,0	0,0	2,0	0,0	0,6	0,0	0,0	0,0	0,0	0,0	0,0	0,0	
9	0,1	3,8	0,1	0,0	0,4	0,0	0,0	0,0	0,0	0,0	0,0	7,4	
10	18,3	26,8	0,0	0,0	1,0	0,0	0,0	3,1	0,0	9,5	4,3	0,6	
11	0,0	3,6	0,3	0,0	0,1	0,0	0,0	0,8	0,0	0,0	0,0	0,0	
12	117,1	21,2	0,0	0,0	0,0	0,0	0,5	0,9	22,9	0,0	0,0	4,6	
13	7,9	28,4	0,0	0,0	0,1	0,0	0,3	0,0	20,0	0,6	29,4	14,1	
14	0,5	0,0	0,0	0,0	0,1	0,1	0,0	0,0	0,2	0,0	41,8	2,1	
15	1,7	0,8	0,7	0,0	0,1	0,0	15,5	6,5	4,1	0,0	0,0	9,4	
16	4,7	30,1	7,9	0,0	0,1	0,1	9,2	7,9	1,9	0,0	0,0	104,1	
17	8,5	16,0	6,0	0,0	0,0	0,0	0,3	0,2	2,6	7,4	0,0	27,5	
18	0,1	0,1	25,0	0,0	0,0	0,0	0,1	0,0	0,0	0,0	49,6	0,2	
19	17,6	0,0	0,4	0,0	2,4	0,0	0,0	0,9	0,0	0,0	0,0	0,0	
20	0,2	0,0	0,2	0,0	2,5	13,6	0,0	0,0	0,0	4,5	0,0	0,0	
21	0,1	0,0	0,1	0,0	0,0	3,7	0,0	0,0	0,0	0,0	21,9	0,0	
22	0,0	20,9	2,2	2,2	0,0	0,2	0,2	0,0	0,0	0,0	0,0	0,0	
23	0,2	19,4	0,0	0,1	0,0	0,1	31,3	0,0	0,0	0,0	0,0	0,0	
24	0,0	0,0	0,0	0,0	0,0	0,0	0,0	0,0	1,2	61,9	28,5	18,0	
25	0,0	0,0	0,2	0,2	0,0	0,0	0,1	0,0	1,1	0,0	23,7	8,5	
26	56,9	0,0	0,0	0,2	0,0	0,0	0,0	0,0	0,1	1,2	29,7	0,1	
27	1,6	21,8	0,8	0,0	0,0	0,1	0,0	20,1	0,0	0,0	0,0	0,0	
28	0,0	21,1	0,1	0,1	0,0	0,0	0,0	26,7	0,0	0,0	0,5	5,2	
29	0,0	55,8	9,4	0,0	0,0	0,0	0,2	0,0	0,0	1,1	13,0	0,0	
30	0,0		13,2	0,0	0,1	0,0	0,0	0,0	0,1	0,0	1,4	29,0	
31	5,4		0,0		0,4		0,0	2,0		0,0		12,7	
total mensal de precipitação (mm):	363,5	317,4	163,2	6,4	10,4	20,0	58,3	70,4	105,7	123,4	246,9	266,4	total anual de: 1752,0
média 1933-2000:	214,8	206,4	164,7	82,6	63,9	51,2	40,0	39,1	75,9	123,8	121,8	182,7	total anual de: 1366,9
desvio em relação ao valor normal:	148,7	111,0	-1,5	-76,2	-53,5	-31,2	18,3	31,3	29,8	-0,4	125,1	83,7	desvio de: 385,1
número de dias com precipitação:	24	18	20	7	13	8	13	11	14	11	14	20	total de: 173
máximo total diário:	117,1	55,8	46,2	2,2	2,5	13,6	31,3	26,7	24,1	61,9	49,6	104,1	

Figura 1. Valores mínimos mensais para a temperatura do ar em 1999 e 2000, e valores extremos para o período 1933-2000.

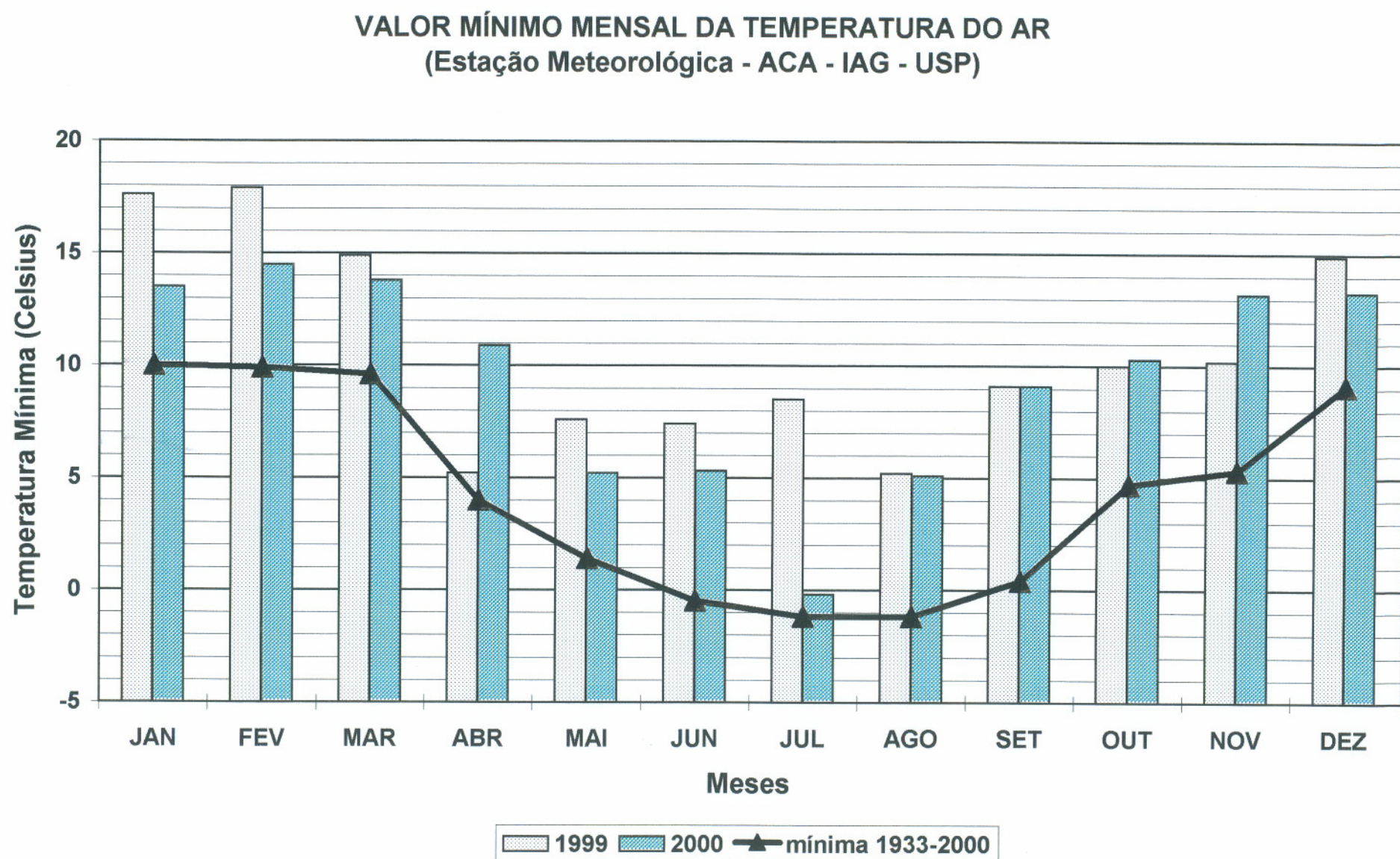


Figura 2. Valores mínimos absolutos mensais para a temperatura do ar e ano de sua ocorrência.

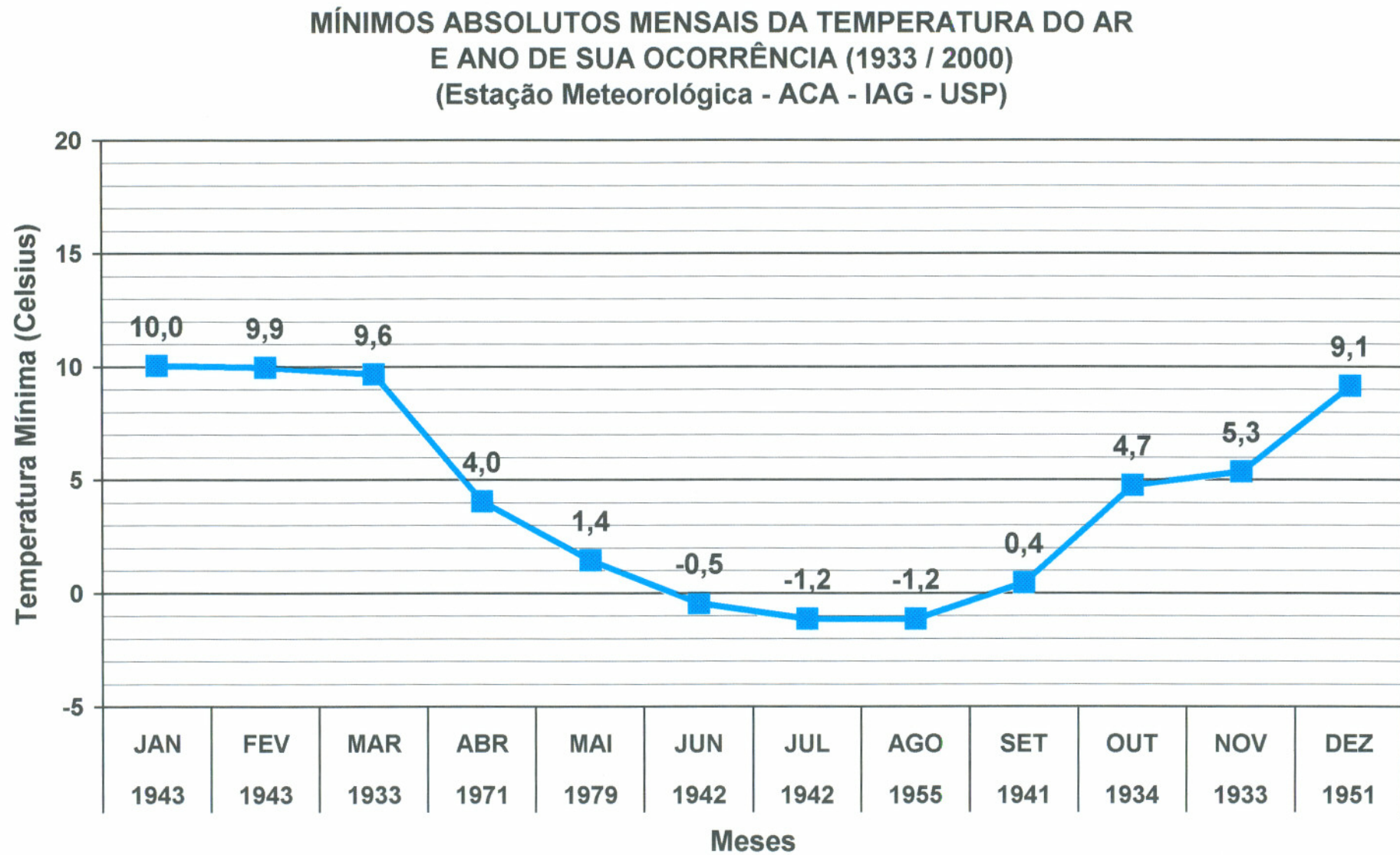


Figura 3. Valores máximos mensais para a temperatura do ar em 1999 e 2000, e valores extremos para o período 1933-2000.

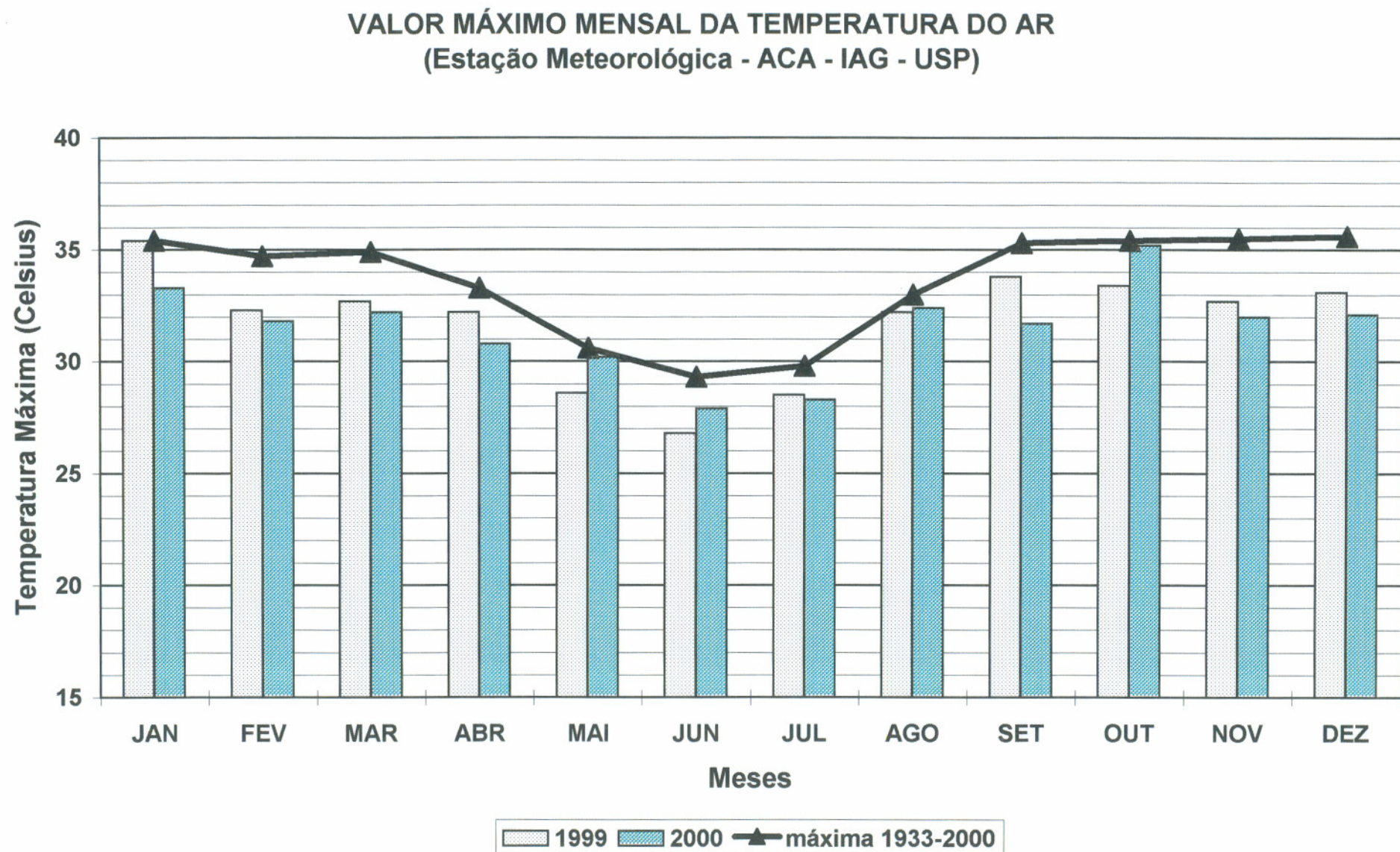


Figura 4. Valores máximos absolutos mensais para a temperatura do ar e ano de sua ocorrência.

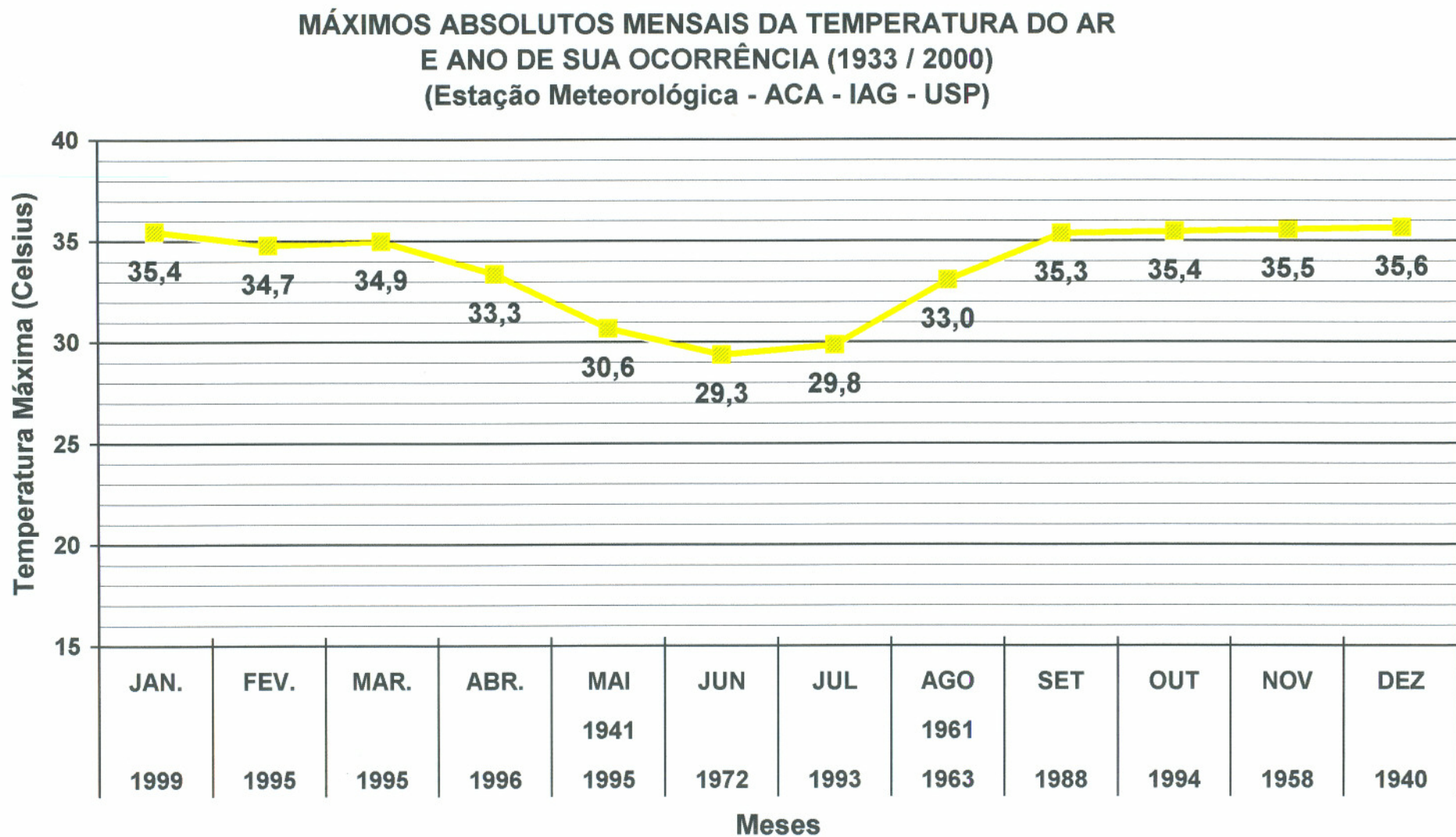


Figura 5. Valores médios mensais para a temperatura do ar em 1999 e 2000.

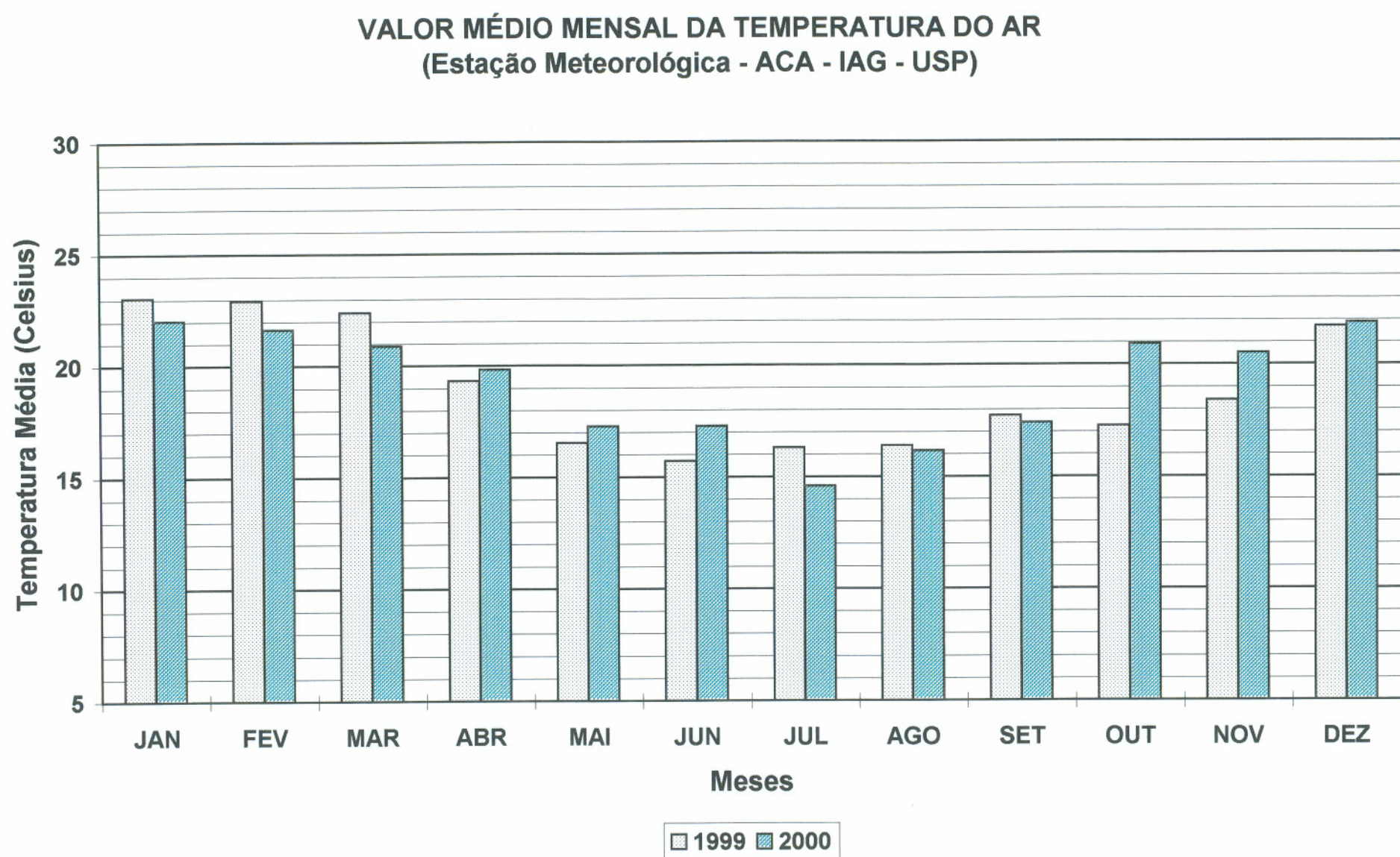


Figura 6. Totais mensais de dias com nevoeiro em 1999 e 2000, e respectivos valores médios para o período 1933-2000.

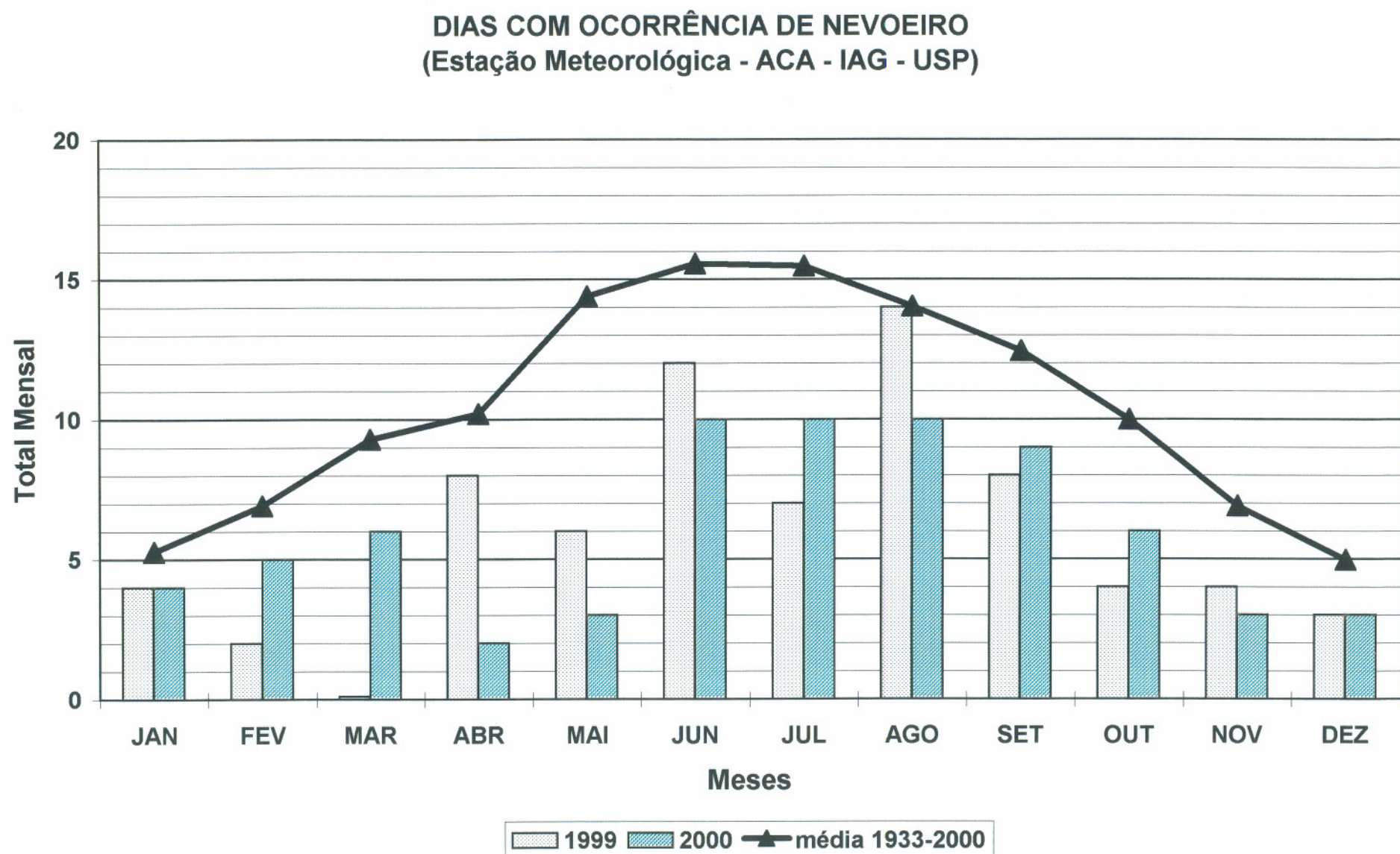


Figura 7. Totais mensais do número de dias com garoa em 1999 e 2000, e respectivos valores médios para o período 1933-2000.

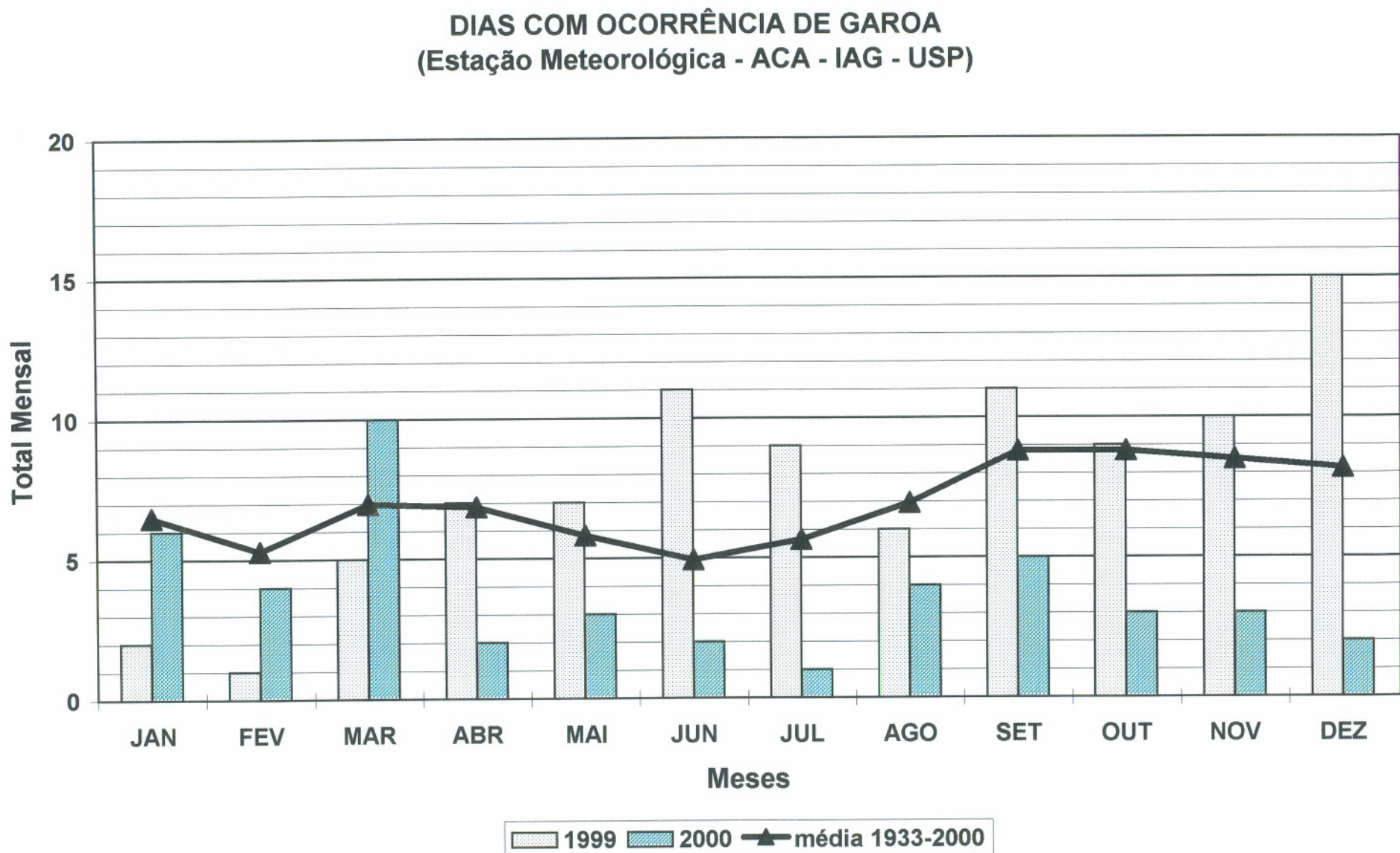


Figura 8. Valores totais mensais para a precipitação em 1999 e 2000, e respectivos valores médios para o período 1933-2000.

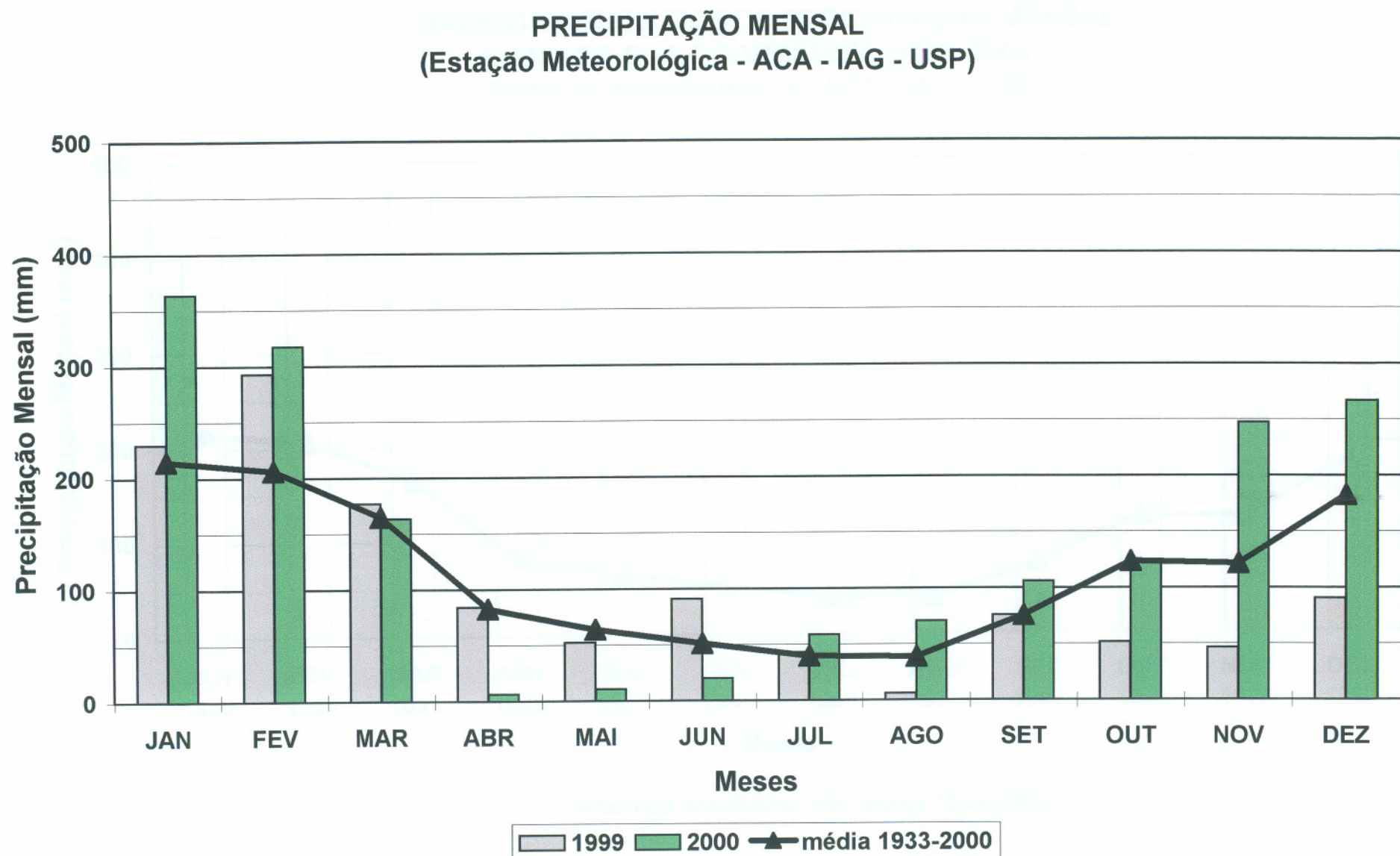


Figura 9. Valores máximos absolutos para a precipitação mensal e ano de sua ocorrência.

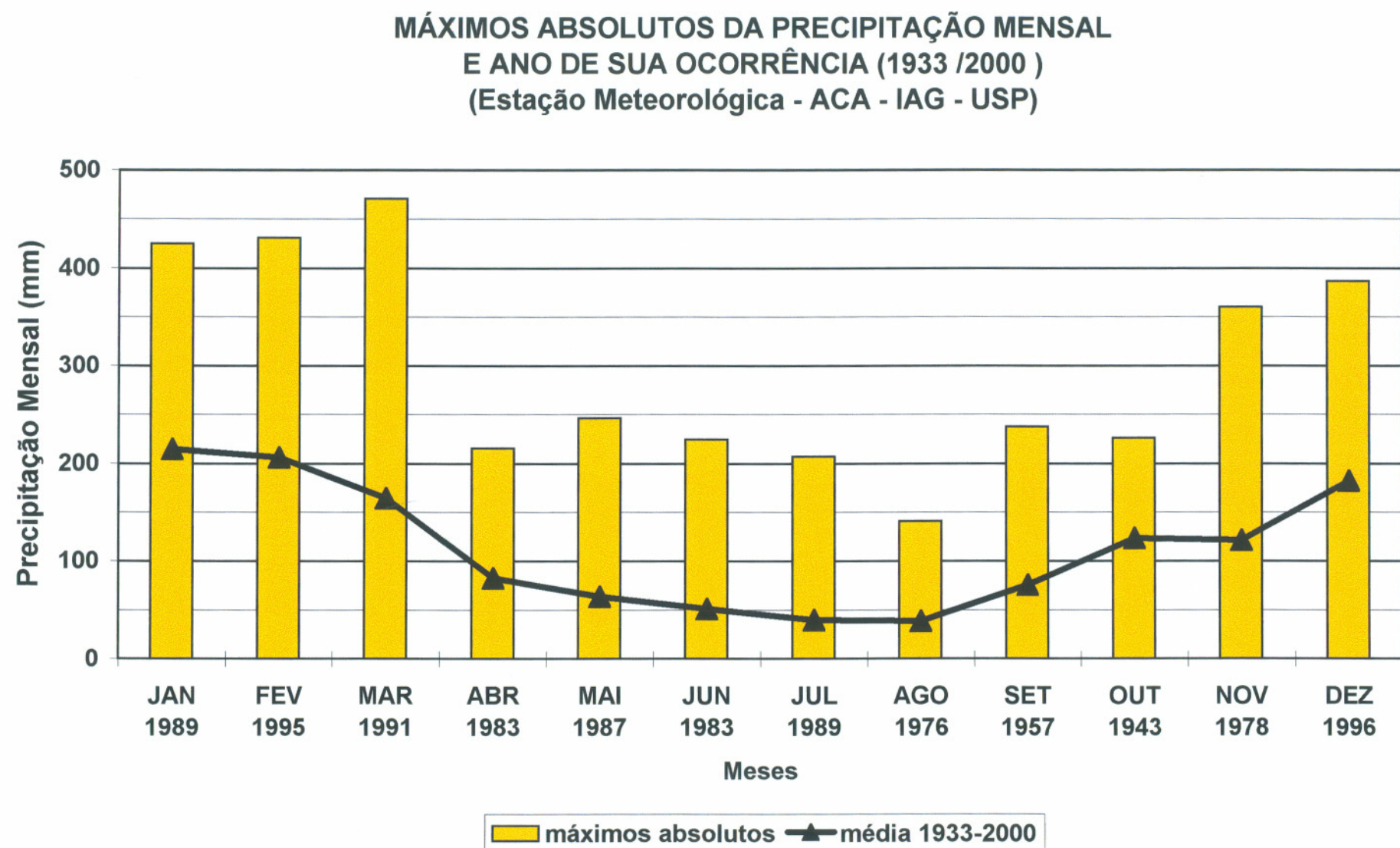
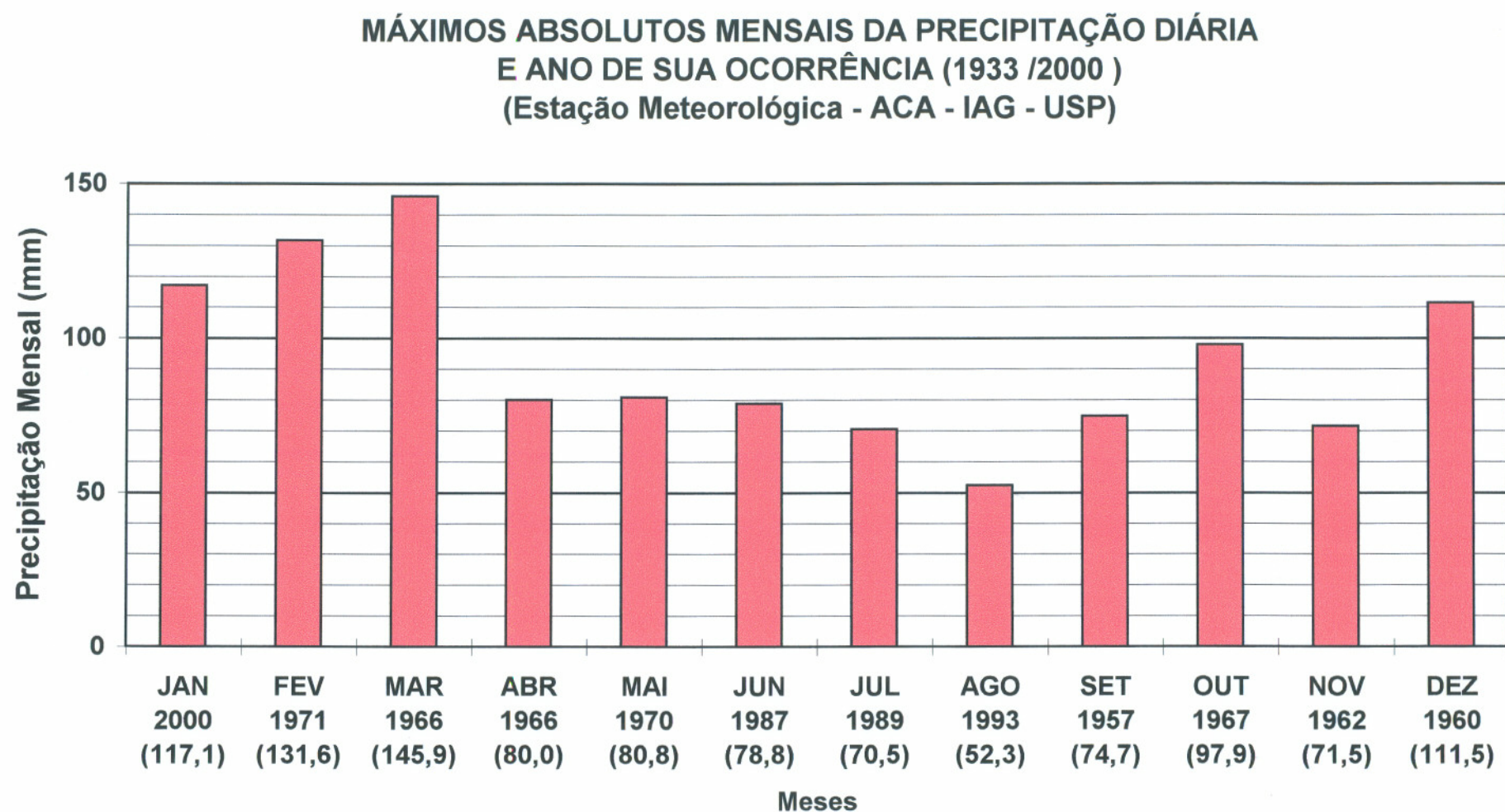


Figura 10. Valores máximos absolutos mensais para a precipitação diária e ano de sua ocorrência.



**OBSERVAÇÕES DE SUPERFÍCIE
EFETUADAS NA ESTAÇÃO METEOROLÓGICA – 2000**

150 exemplares

ISSN 1415-4374

realizado na Seção de Desenho e Produção Gráfica do Instituto Astronômico e Geofísico da USP